

Modelagem Geométrica I

Rogers & Adams – Seções 4.1-4.4,5.1-5.2,5.8-5.8,6.1,6.11-6.12

Apostila – Capítulo 3

Representação Implícita

$$(x - x_c)^2 + (y - y_c)^2 = R^2 = 4$$

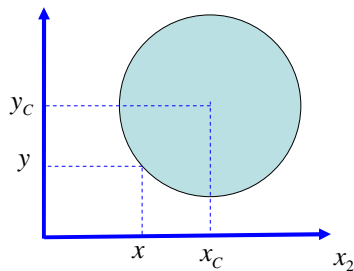
Possíveis inferências geométricas:

Perímetro: $2\pi R$

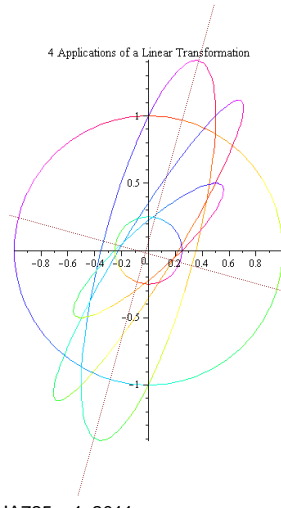
Área: πR^2

Pertinência/Continência de um ponto:

$$(x - x_c)^2 + (y - y_c)^2 \leq 4$$



Funções Cônicas



IA725 – 1s2011
 Profa. Ting

$$Ax^2 + Bxy + Cy^2 + Dx + Ey + F = 0$$

$$\begin{bmatrix} x & y & 1 \end{bmatrix} \begin{bmatrix} A & B/2 & D/2 \\ B/2 & C & E/2 \\ D/2 & E/2 & 1 \end{bmatrix} \begin{bmatrix} x \\ y \\ 1 \end{bmatrix} = 0$$

$$P^t M P = 0$$

$$M \vec{v} = \lambda \vec{v}$$

$$(M - \lambda I) \vec{v} = 0$$

$$\det(M - \lambda I) = 0$$

Equação Característica

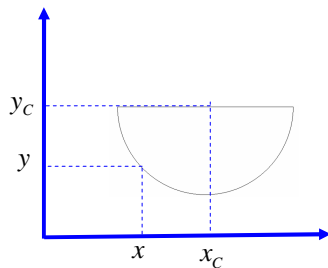
Para cada λ determina-se \vec{v}

Representação Explícita

$$(x - x_c)^2 + (y - y_c)^2 = R^2 = 4$$

Obtenção explícita de pares ordenados

$$x = x_c \pm \sqrt{R^2 - (y - y_c)^2}$$



Possíveis inferências geométricas:

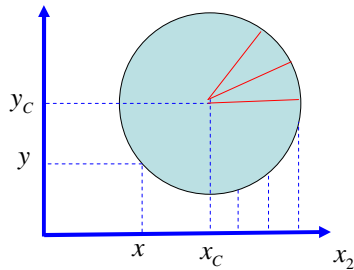
Perímetro: $2\pi R$

Área: πR^2

IA725 – 1s2011
 Profa. Ting

Representação Paramétrica

$$(x - x_c)^2 + (y - y_c)^2 = R^2 = 4$$



Pontos com coordenadas x ou y igualmente espaçados não implicam em distribuição uniforme (mesma variação angular) de amostras sobre a circunferência!



Parametrizar as coordenadas em termos do ângulo θ de cada arco

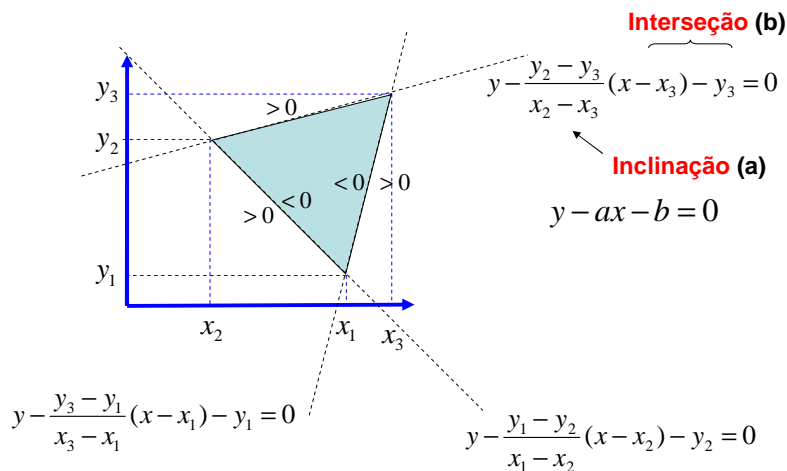
$$x = R \cos \theta$$

$$y = R \sin \theta$$

Coordenadas Polares

IA725 – 1s2011
Profa. Ting

Representação Implícita



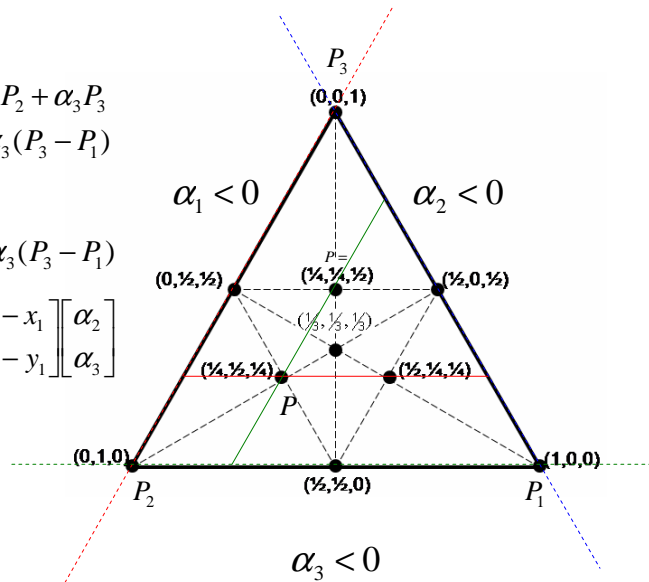
IA725 – 1s2011
Profa. Ting

Representação Paramétrica

$$\begin{aligned}
 P &= \alpha_1 P_1 + \alpha_2 P_2 + \alpha_3 P_3 \\
 &= (1 - \alpha_2 - \alpha_3) P_1 + \alpha_2 P_2 + \alpha_3 P_3 \\
 &= P_1 + \alpha_2 (P_2 - P_1) + \alpha_3 (P_3 - P_1)
 \end{aligned}$$

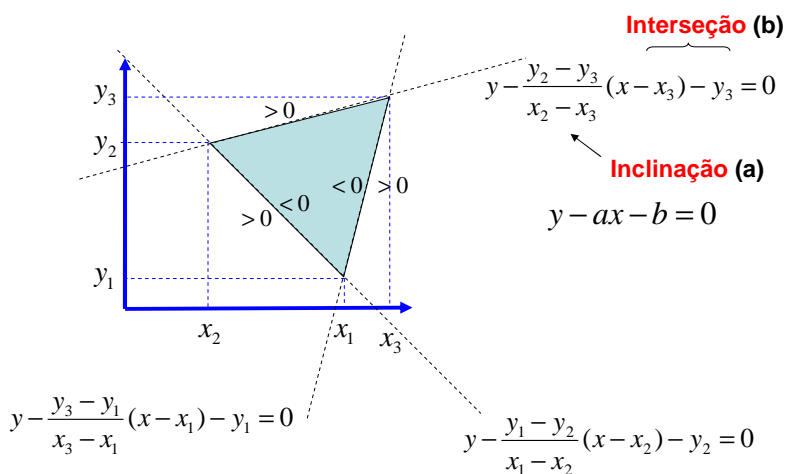
$$P - P_1 = \alpha_2 (P_2 - P_1) + \alpha_3 (P_3 - P_1)$$

$$\begin{bmatrix} x - x_1 \\ y - y_1 \end{bmatrix} = \begin{bmatrix} x_2 - x_1 & x_3 - x_1 \\ y_2 - y_1 & y_3 - y_1 \end{bmatrix} \begin{bmatrix} \alpha_2 \\ \alpha_3 \end{bmatrix}$$



IA725 - 1s2011
Prof. Ting

Representação Implícita

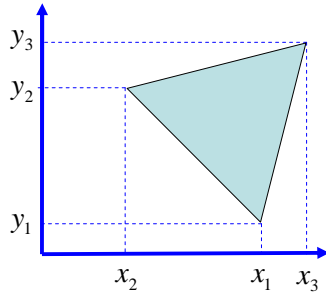


IA725 - 1s2011
Prof. Ting

Representação Discreta

Sequência de pontos em coordenadas cartesianas

$$(x_1, y_1), (x_3, y_3), (x_2, y_2)$$



Possíveis inferências geométricas:

Comprimento do lado: $\sqrt{\begin{pmatrix} x_3 - x_1 \\ y_3 - y_1 \end{pmatrix} \cdot \begin{pmatrix} x_3 - x_1 \\ y_3 - y_1 \end{pmatrix}}$

Orientação no plano: $Base = \begin{pmatrix} x_2 - x_1 \\ y_2 - y_1 \end{pmatrix}; Altura = \begin{pmatrix} y_2 - y_1 \\ -(x_2 - x_1) \end{pmatrix}$

Pertinência/Continência de um ponto:

$$y - \frac{y_3 - y_1}{x_3 - x_1}(x - x_1) - y_1 \leq 0 \quad y - \frac{y_1 - y_2}{x_1 - x_2}(x - x_2) - y_2 \leq 0 \quad y - \frac{y_2 - y_3}{x_2 - x_3}(x - x_3) - y_3 \leq 0$$

IA725 – 1s2011
Profa. Ting

Síntese

- Distintas formas para representar pontos no espaço
 - Coordenadas cartesianas
 - Coordenadas polares, esféricas, cilíndricas
 - Coordenadas afins, baricêntricas, convexas
- Distintas formas para especificar os pontos de um lugar geométrico
 - Sequência orientada de vértices
 - Funções
 - Paramétricas
 - Implícitas
 - Explícitas
- Distintos algoritmos de inferência geométrica
 - Propriedades de interesse para Computação Gráfica:
vetores-posição e vetores normais.

IA725 – 1s2011
Profa. Ting

Representações de um triângulo

Alternativas de Representação:

1. Sequência orientada:

$$P_0, P_1, P_2$$

$$\vec{n} = \frac{(P_0 - P_2) \times (P_1 - P_0)}{|P_0 - P_2| |P_1 - P_0|}$$

2. Implícita

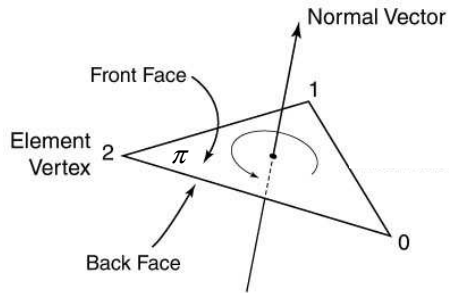
$$f = \vec{n} \cdot (P - P_2) = 0 \text{ e domínio de } x, y, z$$

$$\vec{n} = \nabla f$$

3. Paramétrica

$$P(\alpha, \beta) = \alpha P_0 + \beta P_1 + (1 - \alpha - \beta) P_2$$

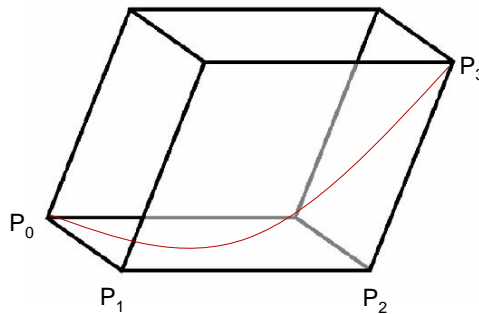
$$\vec{n} = \frac{\frac{\partial P}{\partial \alpha} \times \frac{\partial P}{\partial \beta}}{|\frac{\partial P}{\partial \alpha}| |\frac{\partial P}{\partial \beta}|}$$



IA725 – 1s2011
Profª. Ting

Curvas de Bézier

Conceito Original: curvas
fixas num paralelepípedo
que controla a sua forma

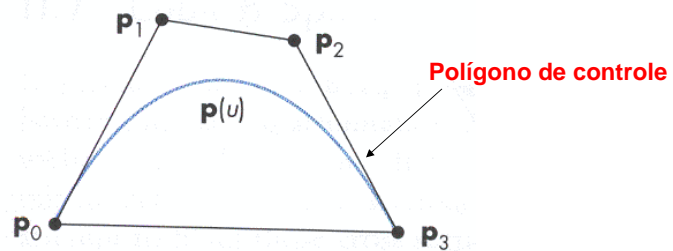


IA725 – 1s2011
Profª. Ting

Curva de Bézier

$$P(t) = \sum_{i=0}^n P_i J_{n,i}(t) \quad J_{n,i}(t) = \binom{n}{i} t^i (1-t)^{n-i} \quad t \in [0,1]$$

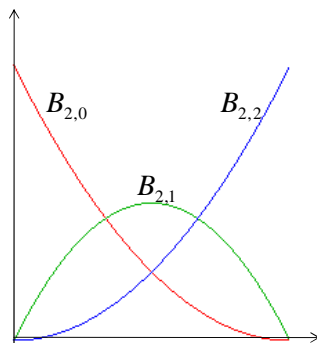
$$\sum J_{n,i}(t) = 1, J_{n,i}(t) \geq 0 \implies \text{Combinação convexa de } P_i$$



IA725 – 1s2011
Profa. Ting

Curvas de Bézier Quadráticas

$$P(t) = \sum_{i=0}^n P_i J_{2,i}(t) \quad J_{2,i}(t) = \binom{2}{i} t^i (1-t)^{2-i}$$



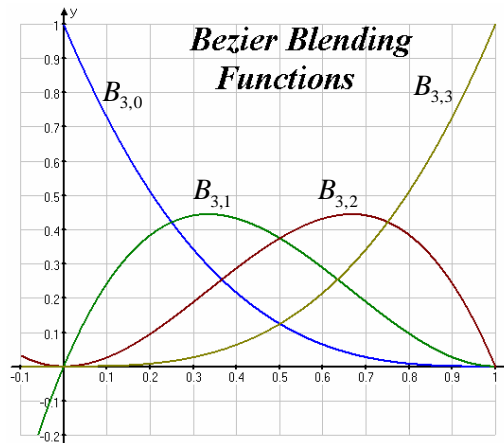
$$\begin{aligned} B_{2,0}(t) &= (1-t)^2 \\ B_{2,1}(t) &= 2t(1-t) \\ B_{2,2}(t) &= t^2 \end{aligned}$$

IA725 – 1s2011
Profa. Ting

Curvas de Bézier Cúbicas

$$P(t) = \sum_{i=0}^n P_i J_{3,i}(t) \quad J_{3,i}(t) = \binom{3}{i} t^i (1-t)^{3-i}$$

$$\begin{aligned} B_{3,0}(t) &= (1-t)^3 \\ B_{3,1}(t) &= 3t(1-t)^2 \\ B_{3,2}(t) &= 3t^2(1-t) \\ B_{3,3}(t) &= t^3 \end{aligned}$$



IA725 – 1s2011
Profa. Ting

Outras Funções de Bernstein

<http://i33www.ira.uka.de/applets/mocca/html/noplugin/curves.html>

IA725 – 1s2011
Profa. Ting

Propriedades

- É polinomial. Se a quantidade de pontos de controle é $(n+1)$, o grau do polinômio é n .
- Acompanha a forma do polígono de controle. Está no fecho convexo dos pontos de controle.
- Influência global de cada ponto de controle.
- Pontos extremos da curva e do polígono coincidem.
- Tangente nos pontos extremos coincidem com os segmentos extremos do polígono de controle.
- A curva não oscila mais que o polígono de controle.
- São invariantes sob transformações afins.

IA725 – 1s2011
Profa. Ting

Polígono de Controle e Fecho Convexo

<http://i33www.ira.uka.de/applets/mocca/html/noplugin/RenderBezierC/AppRenderBezierC/index.html>

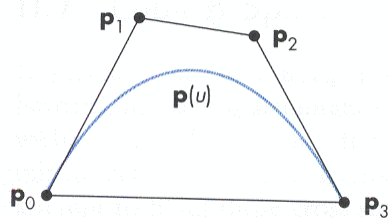
IA725 – 1s2011
Profa. Ting

Algoritmo de DeCasteljau

<http://www.cs.technion.ac.il/~cs234325/Applets/applets/bezier/GermanApplet.html>

IA725 – 1s2011
Profa. Ting

Notação Matricial



Curva de Bézier Cúbica

$$P(t) = B_{3,0}(t) P_0 + B_{3,1}(t) P_1 + B_{3,2}(t) P_2 + B_{3,3}(t) P_3$$

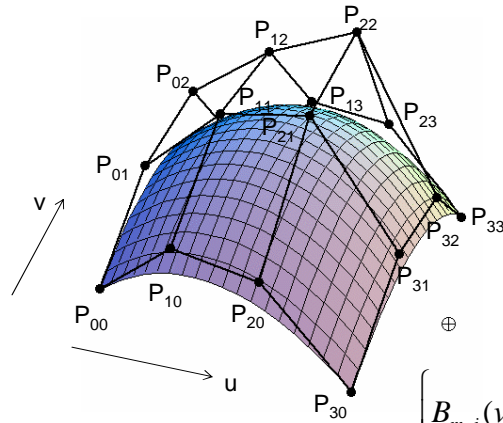
$$= (1-t)^3 P_0 + 3t(1-t)^2 P_1 + 3t^2(1-t) P_2 + t^3 P_3$$

$$= (1-3t+3t^2-t^3)P_0 + (3t-6t^2+3t^3) P_1 + (3t^2-3t^3) P_2 + t^3 P_3$$

$$= \begin{pmatrix} x_0 & x_1 & x_2 & x_3 \\ y_0 & y_1 & y_2 & y_3 \\ z_0 & z_1 & z_2 & z_3 \end{pmatrix} \begin{pmatrix} 1 & -3 & 3 & -1 \\ 0 & 3 & -6 & 3 \\ 0 & 0 & 3 & -3 \\ 0 & 0 & 0 & 1 \end{pmatrix} \begin{pmatrix} 1 \\ t \\ t^2 \\ t^3 \end{pmatrix}$$

IA725 – 1s2011
Profa. Ting

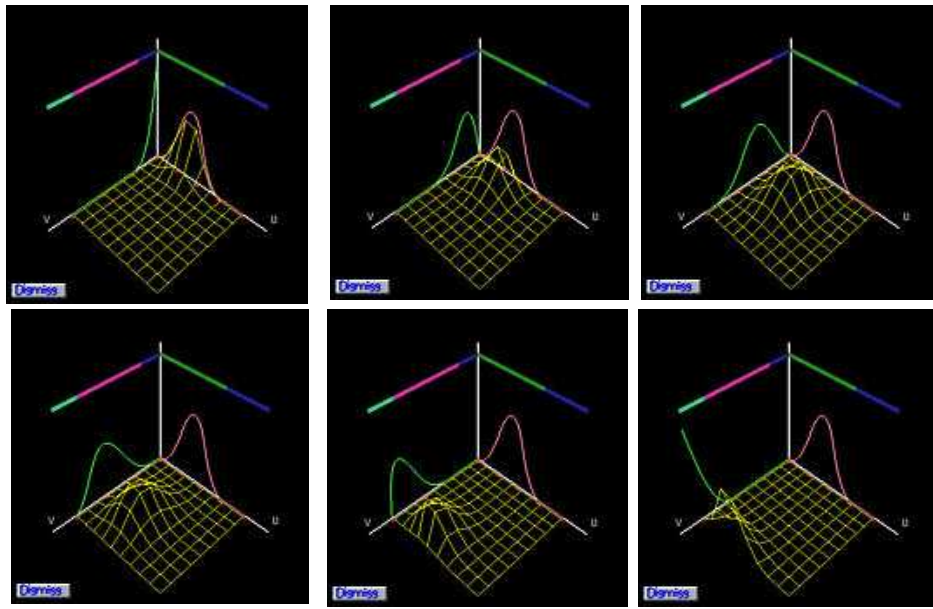
Superfícies de Bézier



$$P(u,v) = \sum B_{m,j}(v) \left(\sum B_{n,i}(u) P_{ij} \right) \text{ onde } \begin{cases} B_{m,j}(v) = \binom{m}{j} v^j (1-v)^{m-j} \\ B_{n,i}(u) = \binom{n}{i} u^i (1-u)^{n-i} \end{cases}$$

IA725 – 1s2011
 Profa. Ting

Funções de Bernstein Bi-dimensionais

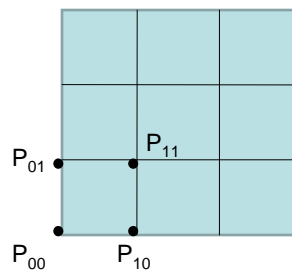


Superfícies de Bézier Bicúbicas

<http://www.nbb.cornell.edu/neurobio/land/OldStudentProjects/cs490-96to97/anson/BezierPatchApplet/>

IA725 – 1s2011
Profa. Ting

Superfícies de Bézier Bicúbicas



Pontos de controle na borda:
p.ex.: P_{00} , P_{01} , P_{10}

Vetores-tangente na borda
p.ex.: $3(P_{10} - P_{00})$, $3(P_{01} - P_{00})$

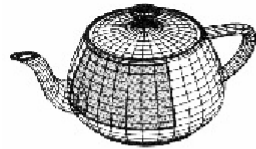
Vetores-torsão (derivada mista)
na borda
p.ex.: $9(P_{00} - P_{01} - P_{10} - P_{11})$

Se $9(P_{00} - P_{01} - P_{10} - P_{11}) = 0$
 $P_{00} - P_{01} - P_{10} = P_{11}$

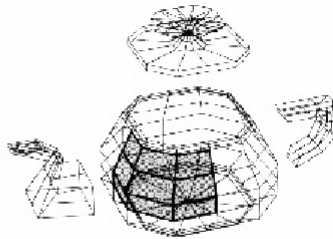
IA725 – 1s2011
Profa. Ting

Superfícies de Bézier

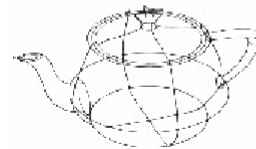
Bule de Utah



single shaded patch



wireframe of the control points



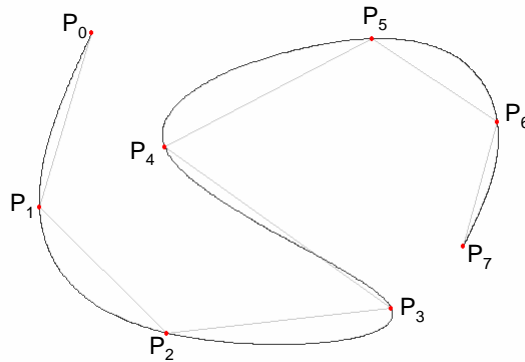
Patch edges

<http://www.holmes3d.net/graphics/teapot/>

IA725 – 1s2011
Profa. Ting

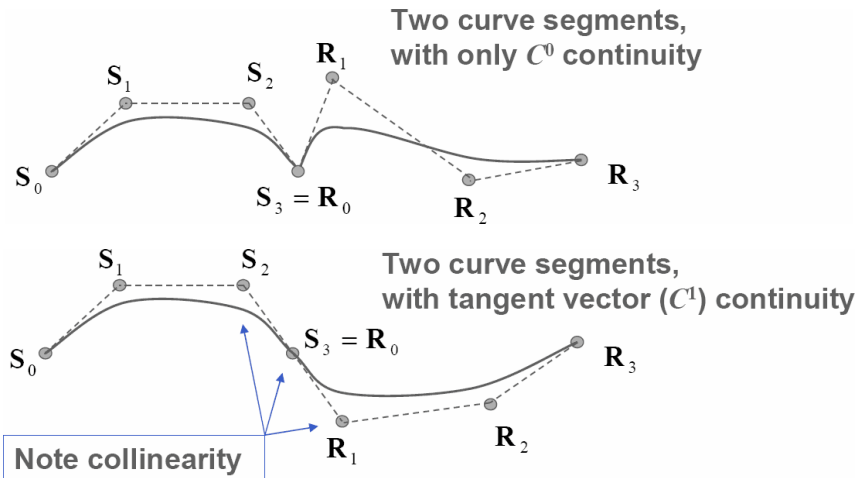
Curvas de Bézier “Complexas”

Bezier Curves Interpolation B-Spline Help



IA725 – 1s2011
Profa. Ting

Splines de Curvas de Bézier Concatenação de curvas S e R



IA725 – 1s2011
Profa. Ting

Continuidade

Diferenciabilidade:

C^0 : $S_3 = R_0$

C^1 : primeiras derivadas são iguais

C^2 : primeiras e segundas derivadas são iguais

C^n : as primeiras n derivadas são iguais

Continuidade Geométrica (Representação Paramétrica):

G^0 : $S_3(1) = R_0(0)$

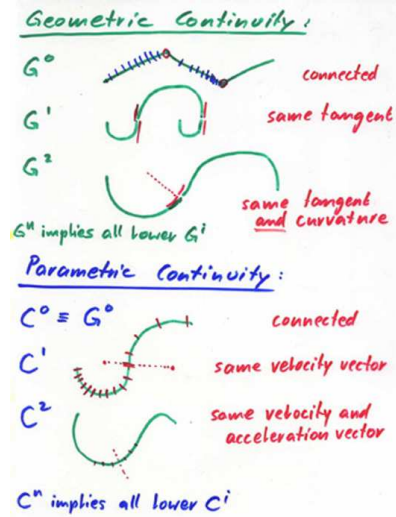
G^1 : $\partial S(1)/\partial t_1 = k_1 \partial R(0)/\partial t_2$

G^2 : $\partial S(1)/\partial t_1 = k_1 \partial R(0)/\partial t_2$; $\partial^2 S(1)/\partial t_1^2 = k_2 \partial^2 R(0)/\partial t_2^2$

G^n : as primeiras n derivadas são iguais

IA725 – 1s2011
Profa. Ting

Continuidade



$$\gamma(t) = (t, t^2), t \in [0,1]$$

$$\eta(t) = (2t+1, t^3 + 4t+1), t \in [0,1]$$

$$\gamma(1) = \eta(0)$$

$$\frac{\partial \gamma(1)}{\partial t} = (1, 2(1)) = (1, 2)$$

$$\frac{\partial \eta(0)}{\partial t} = (2, 3(0)^2 + 4) = (2, 4)$$

$$\gamma(t) = (t^2 - 2t + 2, t^3 - 2t^2 + t), t \in [0,1]$$

$$\eta(t) = (t^2 + 1, t^3), t \in [0,1]$$

$$\gamma(1) = \eta(0)$$

$$\frac{\partial \gamma(1)}{\partial t} = (2(1) - 2, 3(1)^2 - 4(1) + 1) = (0, 0)$$

$$\frac{\partial \eta(0)}{\partial t} = (2(0), 3(0)^2) = (0, 0)$$

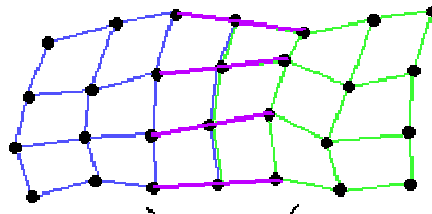
IA725 - 1s2011
Profa. Ting

Continuidade

Continuidade Geométrica:

$$G^0: S(1, v_1) = R(0, v_2)$$

$$G^1: \partial S(1, v_1) / \partial v_1 = k_1 \partial R(0, v_2) / \partial v_2$$



collinear control points
along common edge

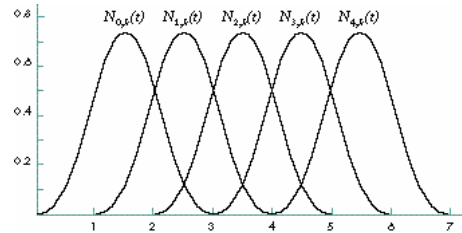
IA725 - 1s2011
Profa. Ting

Splines de Base (B-Splines)

- pontos de controle: m
- ordem: k (grau: $n=k-1$)
- **vetor de nós:** $\{t_0, t_1, t_2, \dots, t_{m+1+n}\}$
- $(m-n+1)$ "segmentos de curvas"

$$P(t) = \sum_{k=0}^n N_{i,k}(t) P_i$$

$$N_{i,1}(t) = \begin{cases} 1, & \text{se } t \in [t_i, t_{i+1}) \\ 0, & \text{em outros intervalos} \end{cases}$$



$n=2$
3 segmentos

$$N_{i,k}(t) = \frac{(t-t_i)N_{i,k-1}(t)}{(t_{i+k-1}-t_i)} + \frac{(t_{i+k}-t)N_{i+1,k-1}(t)}{(t_{i+k}-t_{i+1})}$$

IA725 – 1s2011
Profa. Ting

Funções de Base Constantes e Lineares

- **vetor de nós:** $\{0,1,2,3,4,5,6\}$

$$N_{0,1}(t) = 1, t \in [0,1)$$

$$N_{0,2}(t) = t, t \in [0,1)$$

$$N_{1,1}(t) = 1, t \in [1,2)$$

$$N_{0,2}(t) = (1-t), N_{1,2}(t) = (t-1), t \in [1,2)$$

$$N_{2,1}(t) = 1, t \in [2,3)$$

$$N_{1,2}(t) = (3-t), N_{2,2}(t) = (t-2), t \in [2,3)$$

$$N_{3,1}(t) = 1, t \in [3,4)$$

$$N_{2,2}(t) = (4-t), N_{3,2}(t) = (t-3), t \in [3,4)$$

$$N_{4,1}(t) = 1, t \in [4,5)$$

$$N_{3,2}(t) = (5-t), N_{4,2}(t) = (t-4), t \in [4,5)$$

$$N_{5,1}(t) = 1, t \in [5,6)$$

$$N_{4,2}(t) = (6-t), t \in [5,6)$$

IA725 – 1s2011
Profa. Ting

Funções de Base Quadráticas

➤vetor de nós: {0,1,2,3,4,5,6}

$$N_{0,3}(t) = t^2, t \in [0,1)$$

$$N_{0,3}(t) = \frac{t}{2}(1-t) + \frac{3-t}{2}(t-1), N_{1,3}(t) = \frac{(t-1)^2}{2}, t \in [1,2)$$

$$N_{0,3}(t) = \frac{(3-t)^2}{2}, N_{1,3}(t) = \frac{(t-1)(3-t)}{2} + \frac{(4-t)(t-2)}{2}, N_{2,3}(t) = \frac{(t-2)^2}{2}, t \in [2,3)$$

$$N_{1,3}(t) = \frac{(4-t)^2}{2}, N_{2,3}(t) = \frac{(t-2)(4-t)}{2} + \frac{(5-t)(t-3)}{2}, N_{3,3}(t) = \frac{(t-3)^2}{2}, t \in [3,4)$$

$$N_{2,3}(t) = \frac{(5-t)^2}{2}, N_{3,3}(t) = \frac{(t-3)(5-t)}{2} + \frac{(6-t)(t-4)}{2}, t \in [4,5)$$

$$N_{3,3}(t) = \frac{(6-t)^2}{2}, t \in [5,6)$$

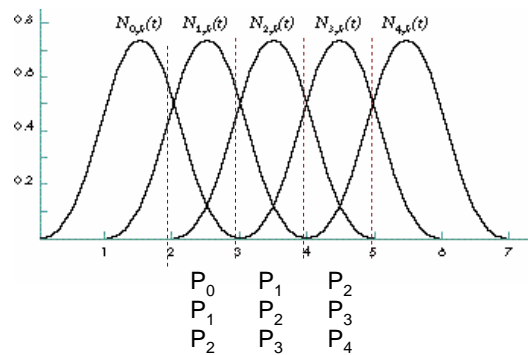
IA725 – 1s2011
Profa. Ting

Exemplos de Funções de Base

<http://i33www.ira.uka.de/applets/mocca/html/noplugin/BSplineBasis/AppBSplineBasis/index.html>

IA725 – 1s2011
Profa. Ting

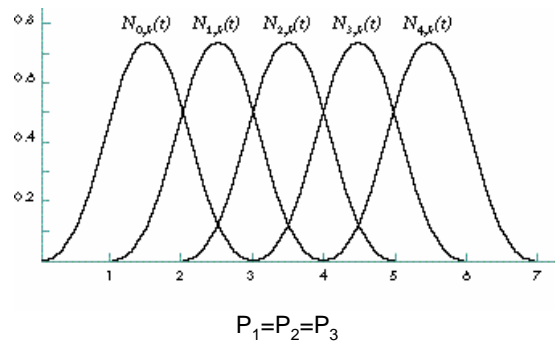
Influência Local de Pontos de Controle



IA725 – 1s2011
 Profa. Ting

Multiplicidade de Pontos

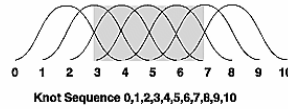
Interpolação da Curva: multiplicidade = $n+1$



IA725 – 1s2011
 Profa. Ting

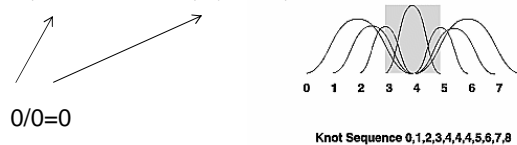
Influência de Vetor de Nós

Spline de base uniforme



Basis Functions

$$N_{i,k}(t) = \frac{(t-t_i)N_{i,k-1}(t)}{(t_{i+k}-t_i)} + \frac{(t_{i+k+1}-t)N_{i+1,k-1}(t)}{(t_{i+k+1}-t_{i+1})}$$



Basis Functions

Spline de base não-uniforme



Example of a Curve

0/0=0

IA725 – 1s2011
Profa. Ting

Propriedades de Splines de Base

- É polinomial. O grau do polinômio não depende da quantidade de pontos de controle.
- Acompanha a forma do polígono de controle. Está no **fecho convexo** dos pontos de controle de cada segmento de curva.
- Influência local** de cada ponto de controle.
- A curva não oscila mais que o polígono de controle.
- São **invariantes sob transformações afins**.
- Multiplicidade m de um ponto “puxa” a curva para ele. Para $m=k$, curva interpola o ponto. Diferenciabilidade C^{n-1} .
- Multiplicidade m de nós altera a diferenciabilidade C^{k-m} .

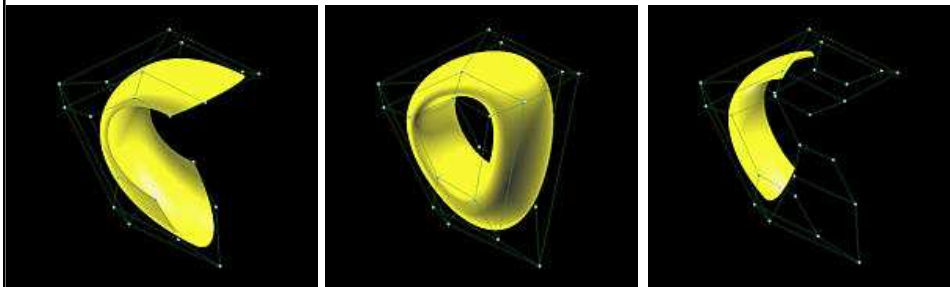
IA725 – 1s2011
Profa. Ting

Exemplos

<http://i33www.ira.uka.de/applets/mocca/html/noplugin/IntBSpline/AppSubdivision/index.html>

IA725 – 1s2011
Profa. Ting

Representação de Superfícies Superfícies de Base



IA725 – 1s2011
Profa. Ting

Interface do OpenGL – Curvas de Bézier

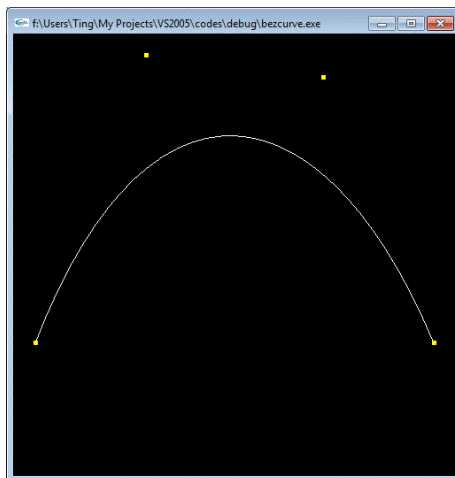
```
void init(void)
{
    glClearColor(0.0, 0.0, 0.0, 0.0);
    glShadeModel(GL_FLAT);
    glMap1f(GL_MAP1_VERTEX_3,
           0.0, 1.0, 3, 4, &ctrlpoints[0][0]);
    glEnable(GL_MAP1_VERTEX_3);
    glMapGrid1f(20,0.0,1.0);
}
```

IA725 – 1s2011
Profa. Ting

```
void display(void)
{
    int i;

    glClear(GL_COLOR_BUFFER_BIT);
    glColor3f(1.0, 1.0, 1.0);
    glBegin(GL_LINE_STRIP);
    for (i = 0; i <= 30; i++)
        glEvalCoord1f((GLfloat) i/30.0);
    glEnd();
    /* The following code displays the control
    points as dots. */
    glPointSize(5.0);
    glColor3f(1.0, 1.0, 0.0);
    glBegin(GL_POINTS);
    for (i = 0; i < 4; i++)
        glVertex3fv(&ctrlpoints[i][0]);
    glEnd();
    glFlush();
}
```

Exemplo



```
GLfloat ctrlpoints[4][3] = {
    { -4.5, -4.0, 0.0},
    { -2.0, 4.5, 0.0},
    { 2.0, 4.0, 0.0},
    { 4.5, -2.0, 0.0}};
```

Copyright © 2001-2004: <http://www.opengl.org/resources/code/samples/redbook/bezcurve.c>
Profa. Ting

Interface do OpenGL – Superfícies de Bézier

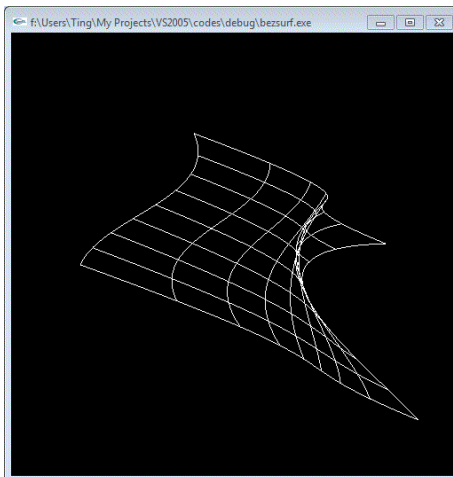
```
void init(void)
{
    glClearColor (0.0, 0.0, 0.0, 0.0);
    glMap2f(GL_MAP2_VERTEX_3, 0, 1,
            3, 4, 0, 1, 12, 4,
            &ctrlpoints[0][0][0]);
    glEnable(GL_MAP2_VERTEX_3);
    glMapGrid2f(20, 0.0, 1.0, 20, 0.0, 1.0);
    glEnable(GL_DEPTH_TEST);
    glShadeModel(GL_FLAT);
}

void display(void)
{
    int i, j;

    glClear(GL_COLOR_BUFFER_BIT |
            GL_DEPTH_BUFFER_BIT);
    glColor3f(1.0, 1.0, 1.0);
    glPushMatrix ();
    glRotatf(85.0, 1.0, 1.0, 1.0);
    for (j = 0; j <= 8; j++) {
        glBegin(GL_LINE_STRIP);
        for (i = 0; i <= 30; i++)
            glVertex2f((GLfloat)i/30.0,
                (GLfloat)j/8.0);
        glEnd();
        glBegin(GL_LINE_STRIP);
        for (i = 0; i <= 30; i++)
            glVertex2f((GLfloat)i/8.0,
                (GLfloat)j/30.0);
        glEnd();
    }
    glPopMatrix ();
    glFlush();
}
```

IA725 – 1s2011
Profa. Ting

Exemplo



```
GLfloat ctrlpoints[4][4][3] = {
    { {-1.5, -1.5, 4.0},
      {-0.5, -1.5, 2.0},
      {0.5, -1.5, -1.0},
      {1.5, -1.5, 2.0}},
    { {-1.5, -0.5, 1.0},
      {-0.5, -0.5, 3.0},
      {0.5, -0.5, 0.0},
      {1.5, -0.5, -1.0}},
    { {-1.5, 0.5, 4.0},
      {-0.5, 0.5, 0.0},
      {0.5, 0.5, 3.0},
      {1.5, 0.5, 4.0}},
    { {-1.5, 1.5, -2.0},
      {-0.5, 1.5, -2.0},
      {0.5, 1.5, 0.0},
      {1.5, 1.5, -1.0}}
};
```

IA725 – 1s2011
Profa. Ting

Code fonte: <http://www.opengl.org/resources/code/samples/redbook/bezsurf.c>

Interface do OpenGL – Curvas B-Splines

```
void init(void)
{
    glClearColor (0.0, 0.0, 0.0, 0.0);

    theNurb = gluNewNurbsRenderer();

    gluNurbsProperty(theNurb, GLU_SAMPLING_
        _METHOD, GLU_PATH_LENGTH);
    gluNurbsProperty(theNurb,
        GLU_PARAMETRIC_TOLERANCE, 0.1);
    gluNurbsCallback(theNurb, GLU_ERROR,
        nurbsError);
}

void CALLBACK nurbsError(GLenum errorCode)
{
    const GLubyte *estring;

    estring = gluErrorString(errorCode);
    fprintf (stderr, "Nurbs Error: %s\n", estring);
    exit (0);
}
IA725 – 1s2011
Profa. Ting

void display(void)
{
    int i, j;

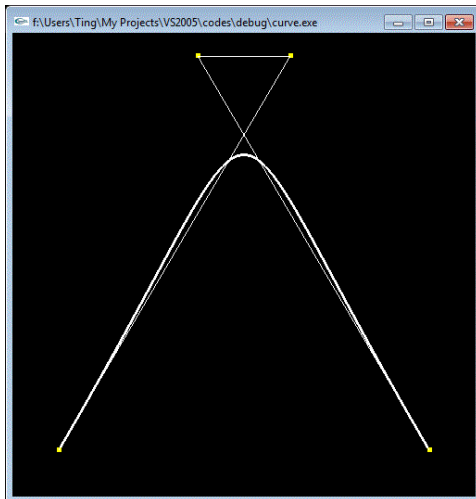
    glClear(GL_COLOR_BUFFER_BIT
        GL_DEPTH_BUFFER_BIT);

    glLineWidth(3.0);
    glColor3f(1.0, 1.0, 1.0);
    gluBeginCurve(theNurb);
    gluNurbsCurve(theNurb,
        8, knots,
        3, &ctlpoints[0][0],
        4, GL_MAP1_VERTEX_3);
    gluEndCurve(theNurb);

    if (showPoints) {
        draw_control_polygon();
    }

    glFlush();
}
```

Exemplo



```
GLfloat ctlpoints[4][3] = {
    { -4.0, -4.0, 0.0}, { 1.0, 4.5, 0.0},
    { -1.0, 4.5, 0.0}, { 4.0, -4.0, 0.0}};
```

```
GLfloat knots[8] = {0.0, 0.0, 0.0, 0.0, 1.0,
    1.0, 1.0, 1.0};
```

Interface do OpenGL – Superfícies B-Splines

```

GLU NurbsObj *theNurb;
void init(void)
{
    GLfloat mat_diffuse[] = { 0.7, 0.7, 0.7, 1.0 };
    GLfloat mat_specular[] = { 1.0, 1.0, 1.0, 1.0 };
    GLfloat mat_shininess[] = { 100.0 };

    glClearColor (0.0, 0.0, 0.0, 0.0);
    glMaterialfv(GL_FRONT, GL_DIFFUSE, mat_diffuse);
    glMaterialfv(GL_FRONT, GL_SPECULAR, mat_specular);
    glMaterialfv(GL_FRONT, GL_SHININESS, mat_shininess);
    glEnable(GL_LIGHTING);
    glEnable(GL_LIGHT0);
    glEnable(GL_DEPTH_TEST);
    glEnable(GL_AUTO_NORMAL);
    glEnable(GL_NORMALIZE);

    init_surface();

    theNurb = gluNewNurbsRenderer();
    gluNurbsProperty(theNurb, GLU_SAMPLING_TOLERANCE, 25.0);
    gluNurbsProperty(theNurb, GLU_DISPLAY_MODE, GLU_OUTLINE_POLYGON);
    gluNurbsCallback(theNurb, GLU_ERROR, IA725 - 18204 Error);
}
Profa. Ting

void display(void)
{
    int i, j;

    glClear(GL_COLOR_BUFFER_BIT | GL_DEPTH_BUFFER_BIT);
    glPushMatrix();
    glRotatef(330.0, 1.,0.,0.);
    glScalef (0.5, 0.5, 0.5);

    gluBeginSurface(theNurb);
    gluNurbsSurface(theNurb, 8, knots, 8, knots, 4 * 3, 3, &ctlpoints[0][0][0], 4, 4, GL_MAP2_VERTEX_3);
    gluEndSurface(theNurb);

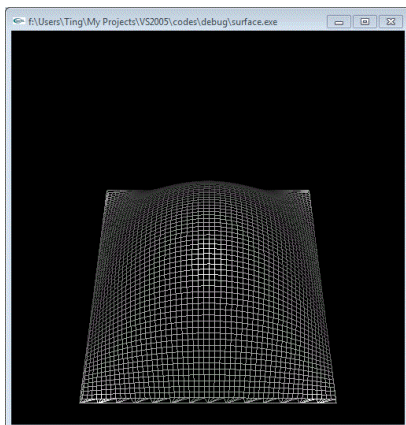
    glPopMatrix();
    glFlush();
}

void CALLBACK nurbsError(GLenum errorCode)
{
    const GLubyte *estring;

    estring = gluErrorString(errorCode);
    fprintf (stderr, "Nurbs Error: %s\n", estring);
    exit (0);
}

```

Exemplo



```

GLfloat knots[8] = {0.0, 0.0, 0.0, 0.0, 1.0, 1.0, 1.0, 1.0};
/*
 * Initializes the control points of the surface to a
 * small hill.
 * The control points range from -3 to +3 in x, y, and
 * z
 */
void init_surface(void)
{
    int u, v;
    for (u = 0; u < 4; u++) {
        for (v = 0; v < 4; v++) {
            ctlpoints[u][v][0] = 2.0*((GLfloat)u - 1.5);
            ctlpoints[u][v][1] = 2.0*((GLfloat)v - 1.5);

            if ( (u == 1 || u == 2) && (v == 1 || v == 2) )
                ctlpoints[u][v][2] = 3.0;
            else
                ctlpoints[u][v][2] = -3.0;
        }
    }
}

```


<http://www.opengl.org/resources/code/samples/redbook/surface.c>
 Profa. Ting